Date: 02/02/2011 Page: 1/6 Responsable: Jessica HAELEWYN Clé: V4.04.304 Révision: 5428

TPLV304 - Distribution de la température dans une barre de section carrée

Résumé:

Ce test est issu de la validation indépendante de la version 3 en thermique stationnaire linéaire.

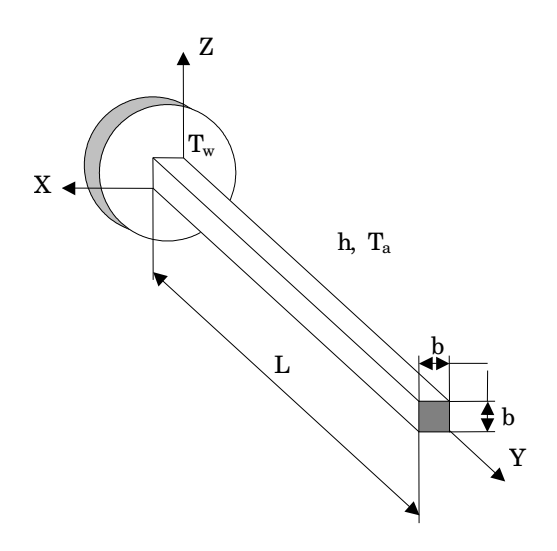
Il a pour objectif de valider les éléments thermiques volumiques sous des conditions de convection et de température imposée.

La solution de référence est basée sur une approche analytique.

Date: 02/02/2011 Page: 2/6 Responsable: Jessica HAELEWYN Clé: V4.04.304 Révision: 5428

Problème de référence

1.1 Géométrie



 $L = 203.2 \text{ x} 10^{-3} \text{ m}$ $b = 25.4 \text{ x} 10^{-3} \text{ m}$

1.2 Propriétés du matériau

Conductivité thermique $\lambda = 43.2675 \, W/m.^{\circ} C$

1.3 **Conditions aux limites et chargements**

- température imposée sur la face y=0 $T_w=37.78^{\circ}C$,
- $\varphi = 0$ sur la face y = L,
- convection sur les autres faces :
 - $h = 5.678 W/m^2 \circ C$,
 - $T_a = -17.780 \,{}^{\circ}C$.

Conditions initiales 1.4

Sans objet.

Date: 02/02/2011 Page: 3/6 Responsable: Jessica HAELEWYN Clé: V4.04.304 Révision: 5428

Solution de référence 2

2.1 Méthode de calcul utilisée pour la solution de référence

La solution de référence originale donnée dans le livre [bib1] est basée sur une approche analytique. Cette référence est citée dans le manuel de vérification d'ANSYS [bib2]

2.2 Résultats de référence

Température sur la face y=l

2.3 Incertitude sur la solution

Inconnue, il n'a pas été possible de se procurer la référence originale (livre ancien, plus édité).

2.4 Références bibliographiques

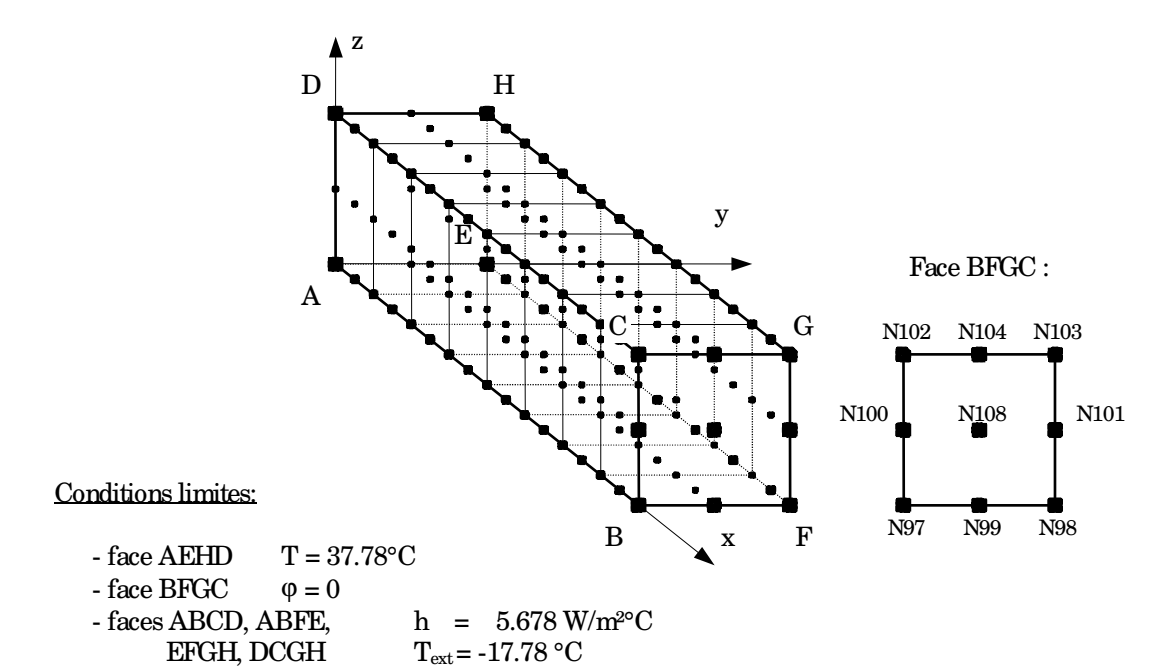
- [1] ANSYS: "Verification manual", 1 st edition, June 1, 1976
- [2] Kreith, F., "Principles of heat transfer", International Textbook Co., Scranton, Pennsylvania, 2nd Printing, 1959.

Date: 02/02/2011 Page: 4/6 Responsable: Jessica HAELEWYN Clé: V4.04.304 Révision: 5428

Modélisation A 3

3.1 Caractéristiques de la modélisation

3D (HEXA27)



Caractéristiques du maillage 3.2

Nombre de nœuds :

Nombre de mailles et types : 8 HEXA27 (et 32 QUAD9)

3.3 Grandeurs testées et résultats

Identification		Référence	Aster	Ecart relatif (%)		Ecart absolu (°C)	
				différence	tolérance	différence	tolérance
Température $({}^{\circ}C)$							
à l'extrémité de la barre							
Y = L		20.329					
В	N97	20.329	20.295	0.166	1%	0.0338	0.5
milieu BF	N99	20.329	20.327	0.010	1%	0.0021	0.5
F	N98	20.329	20.295	~0.166	1%	0.0338	0.5
milieu FG	N101	20.329	20.327	0.010	1%	0.0021	0.5
G	N103	20.329	20.295	0.166	1%	0.0338	0.5
milieu GC	N104	20.329	20.327	0.010	1%	0.0021	0.5
С	N102	20.329	20.295	0.166	1%	0.0338	0.5
milieu CB	N100	20.329	20.327	0.010	1%	0.0021	0.5
milieu de la face	N108	20.329	20.359	0.146	1%	0.0297	0.5

Remarques 3.4

Responsable: Jessica HAELEWYN

Clé : V4.04.304 Révision : 5428

Date: 02/02/2011 Page: 5/6

La chaleur volumique ρ C_P n'intervient pas dans ce test, mais doit être déclarée pour *Code_Aster*. On prend ρ C_P =1.0 J/m^3 ° C .

La condition limite $\varphi = 0$ est implicite sur les bords libres.

Les petites différences qui subsistent correspondent à un gradient de température dans la section observée. Ce qui est conforme au phénomène physique modélisé.



Version default

Titre: TPLV304 - Distribution de la température dans une [...]

Date: 02/02/2011 Page: 6/6 Responsable: Jessica HAELEWYN Clé: V4.04.304 Révision: 5428

Synthèse des résultats 4

Les résultats obtenus sont très satisfaisants, l'écart maximum est de $-0.166\,\%$. L'intérêt principal de ce test est de vérifier la maille HEXA27.